

## Evaluating the efficiency of nanomaterials in the Consolidation of the internal structure of the Diorite Monuments applied on the statues of Sekhmet – Mut Temple – Luxor – Egypt

تقييم كفاءة المواد النانوية في تدعيم الهيكل الداخلي لآثار الديوريت المطبقة على تماثيل سخمت - معبد موت - الأقصر - مصر

أ.د/ بدوي محمد اسماعيل أستاذ ترميم الآثار والحفظ على التراث وعميد كلية الآثار -  
جامعة الأقصر

أ.د/ نبيل أحمد عبد التواب أستاذ ورئيس قسم علاج وصيانة الآثار- كلية الآثار -  
جامعة الزقازيق

أ.م/ كارم محمد مبارك أستاذ الجيولوجيا المساعد -كلية العلوم - جامعة جنوب الوادي  
الباحثة/ فاطمة عبدالرحيم أحمد شعلان- ماجستير في ترميم وصيانة الآثار -كلية  
الآثار- جامعة جنوب الوادي

### Abstract

Diorite is a large-grained igneous rock with a black hue that consists primarily of plagioclase and hornblende, as well as biotite. "Wadi Umm Shegilet, Wadi Umm Balad, Wadi Umm Barud, Wadi Fatiri El – Bayda" are the most important quarries utilised in ancient Egypt, as I indicated. The diorite stone was utilised in the Karnak Temple's Queen Hatshepsut's palace and the Temple of Mutt's goddess Sekhmet's sculptures. King Amenhotep III of the Eighteenth Dynasty built this temple (1375 - 1411 BC).

These Karnak temples are connected by Avenue of Sphinxes or The King's Festivities Road, which is flanked on both sides by Sphinx statues and runs from south to north between Karnak and Luxor temples, covering a distance of 3 kilometres and is the most damaged. A mystical lake in the shape of a horse exists.

Plagioclase minerals undergo numerous changes as a result of various weathering processes, particularly in the presence of water and carbon dioxide, as feldspar, hornblende, and mica can transform into clay minerals, which then undergo dissolution and replacement processes, resulting in the presence of gaps of various sizes within the mineral composition of the stone. Feldspar transforms into kaolinite or sericite as it ages. Hornblende minerals shift to chlorite and occasionally to biotite, thus biotite transforms to chlorite, and chlorite gradually replaces biotite until biotite is totally replaced, at which point the biotite mineral can change to clay minerals.

Diorite monuments are subjected to a variety of factors and manifestations of damage, particularly on the Sekhmet statues in the Temple of Mut, as a result of the difference in temperatures between day and night, which causes thermal expansion to reach 40 degrees or more, especially in southern Upper Egypt. This causes the surface layer and subsequent layers to mechanically peel away, causing the layer to divide into crusts. Because the many minerals that make up diorite rock can produce granular disintegration, it is known that it is black in colour and acts to absorb heat more effectively.

Because of the vicinity to the sacred lake and the occasional rise and fall of the water level, the Diorite sculptures of Sekhmet in the Temple of Mut suffer from a source of moisture known as "ground water," and the ground water level under the Temple of Mut is less than 3 metres. The capillary feature caused the outside sections of the sculptures to fracture and deteriorate.

The presence of birds and insects in archaeological areas has a number of negative effects on archaeological stones, as evidenced by the processes of erosion and erosion that affect the surfaces of diorite stones in statues, which were weakened by factors that twisted through their nails and beaks in order to extract the salts and minerals they use in their food, and one of the most important types of birds spreads through the archaeological sites. Pigeons and birds, as well as bats, frequent the Temple of Mutt in Luxor owing to its closeness to agricultural regions. These creatures are dangerous because their droppings and nests alter the surfaces of diorite engravings. These wastes become acids when exposed to moisture. Bat droppings can stain stones, leaving dark brown patches on the surfaces that are difficult to remove.

Optical or optical microscopy, polarising microscopy (PM), scanning electron microscope (SEM), scanning electron microscope with unit (EDX), and X-ray diffraction (XRD) analyses were used to examine and evaluate samples of Diorite sculptures of the goddess Sekhmet in the Temple of Mutt. There are two stiffeners (Lime Nano and Core-Shell Nano).

The diorite samples were petrographically examined and found to include plagioclase, hornblende, and biotite as basic minerals and iron oxides as a secondary mineral. Plagioclase decomposes to cercite and kaolinite in variable degrees, hornblende mineral decomposes to light green chlorite and iron oxides, and biotite decomposes to chlorite and iron oxides.

The presence of some fine cracks resulting from the exposure of the trace to various damage factors, which led to the weakness of the stone's structure and loss of bonding strength, as well as the separation of large parts of the surface in the form of granular fragmentation on the surface of the archaeological samples and the separation of the grains from the archaeological surface, was discovered through the examination of the archaeological samples, as well as the presence of granular fragmentation on the surface of the archaeological samples and the separation of the grains from the archaeological.

The samples were exposed to damage and contained many elements indicating this, such as sulphur, calcium, sodium, and carbon, which explains the presence of salt blooms of nitrate and sulphate salts on the impact surface, as well as the presence of sodium chloride, one of the well-known salts found on the surface of archaeological stones.

The diorite sample from the goddess Sekhmet's statue was analysed using X-ray diffraction to reveal that it contains the fundamental minerals that make up diorite stone, such as anorthite, hornblende, and biotite, as well as quartz. The presence of halite in the sample is also evident from the analysis.

Conducting physical and mechanical tests on the treated samples revealed that the Core-Shell Nano material had the highest density and increased the treated samples' resistance to mechanical stresses, followed by the Lime Nano material, which had the highest density and increased the treated samples' resistance to mechanical stresses.

The capacity of the nano-core-shell material to penetrate and spread well with a dense and very homogenous layer, as well as the ability of Lime Nano material to spread with a very dense layer, was obvious through inspection of the treated samples using a scanning electron microscope.

After conducting physical and mechanical testing on the treated diorite samples following acid ageing, Lime Nano was able to retain the treated samples' capacity to withstand mechanical strains after acidic weathering cycles.

The Core-Shell nano material showed the effect of acid weathering through the gaps and voids, and it was clear that Lime Nano was stable to a large extent after being subjected to cycles of acid weathering, according to a scanning electron microscope examination of the treated samples after exposure to acid weathering.

الكلمات الدالة:- الديوريت، الأملاح، نانو جير، نانو كور-شل.

## 1- المقدمة :

الديوريت عبارة عن صخر ناري جوفي ولونه رمادي يميل إلى الأسود يتميز بقوته وصلابته ومقاومته للاحتكاك (و.د. هاملتون وآخرون ، 1961) وأهم المحاجر التي استخدمت من قبل المصري القديم : (Wadi Umm Shegilet ، Wadi Umm Balad , Wadi Umm Barud,Wadi Fatiri El – Bayda ) (Heldal,T., Others .,2007)

ان طرق تحجير الأحجار الصلدة تم ممارستها بنجاح في عصور ما قبل الأسرات وتم استعمال كلل الصخر الساقطة أو التي يمكن فصلها بسهولة (الفريد لوكاس، 1991)، وتتعرض الآثار الديوريتية للعديد من عوامل ومظاهر التلف المختلفة وخاصة على تماثيل سخمت بمعد موت وذلك نتيجة لاختلاف درجات الحرارة ليلاً ونهاراً مما يتسبب ذلك في حدوث تمدد حراري وخاصة في جنوب الصعيد قد تصل إلى 40 درجة أو أكثر وبتكرار عمليات التسخين والتبريد قد يعرضها لعمليات التمدد والانكماس مما يؤدي ذلك إلى حدوث تفاصي ميكانيكي للطبقة السطحية والطبقات التي تليها مما يتسبب ذلك لأنفصال هذه الطبقة في صورة قشور (الشكل رقم أ) منالمعروف أن صخر الديوريت داكن اللون فيعمل على امتصاص الحرارة بشكل أكبر فاختلاف المعادن المكونة للصخر قد تتسبب في حدوث تفكك حبيبي (Joanna,M,others.,1982) تعاني التماثيل الديوريتية في معد موت من مصدر الرطوبة (المياه الأرضية) نتيجة لقرب البحيرة المقدسة أدي ذلك لارتفاع منسوب المياه وانخفاضها بشكل متقطع (Bader,N,others.,2015) كما ان مستوى المياه الأرضية أقل من 3 أمتار (M.A.Atya,others.,2012) وبذلك لها تأثير على التماثيل الديوريتية فوق وتحت الأرض،

وتغلغل المياه الأرضية المالحة داخل التماثيل من خلال الخاصية الشعرية فيعمل على حدوث تشقق وانفصال للأجزاء الخارجة من التماثيل ( – Ismail,B and El Habaak,G.,1996 ) وبفعل الرطوبة الموجودة بالموقع المحيط بمعبد موت المعبدة سخمت قد يؤدي ذلك على تثبيت هذه الاتساخات على التماثيل الديوريتية مما ينتج عن ذلك حدوث تشهو به (الشكل ب) وتعرضت هذه التماثيل ايضا للرياح الشديدة التي تحملها الحبيبات الرملية مما ادى ذلك الى حدوث تاكل لهذه التماثيل (Lal,B.B.,1985).

تعاني الآثار الديوريتية خاصا تماثيل المعبدة سخمت بمعبد موت من وجود تزهر الاملاح على السطح(الشكل ت) نتيجة المياه الأرضية التي تعمل على تبخرها عند الكشف عنها مما يجعلها تفقد المياه وتمتص تدريجيا فيؤدي ذلك الى حدوث العديد من التغيرات مثل الشقوق و زيادة المسامية و فقدان الترابط بين الحبيبات (Alves, C, et al 1996) وايضا تعاني الآثار الديوريتية في معبد موت من نمو النباتات (الشكل ح) لقربها من التماثيل وداخل الشقوق والفوائل مما يؤدي علي توسيعها و يجعلها دائما في حالة رطبة .

قد ذكر "Ismail and El – Habaak 1996" أن استخدام مادة البارالويد B72 الذائب في الطولون المخفف بنسبة 5% أعطى نتيجة جيدة في تقوية الآثار الديوريتية ، كما ذكر

"Abd El – Tawab 2010" أن استخدام مادة البارالويد B66 المخفف في الأسيتون بنسبة 5% من أفضل المواد التي استخدمت في تقوية البنية الداخلية لأحجار الديوريت .



صورة رقم (1) توضح خريطة لاهم محاجر الديوريت.

 <p>صورة رقم (4) توضح تزهر الأملأح على سطح التمثال.</p>	 <p>صورة رقم (3) توضح تأكل التمثال مما ادى إلى تشوه.</p>	 <p>صورة رقم (2) توضح تراكم الأتربة ووجود نقشر ميكانيكي على التمثال.</p>
 <p>صورة رقم (7) توضح نمو النباتات بالقرب وداخل فوائل التمثال.</p>	 <p>صورة رقم (6) توضح وجود فقد في بعض أجزاء من التمثال.</p>	 <p>صورة رقم (5) توضح وجود تغير لوني بالتمثال.</p>

## 2 - المواد والطرق Materials and methods

### Materials 1/2

تمت الدراسة التجريبية على مادتين من مواد التقوية المعروفة ومدى تأثير هذه المواد على مادة الأثر وتحسين خواصها الفيزيائية والميكانيكية وذلك لاستخدامها في ترميم وصيانة التمايل الديوريتية وقد تمت الدراسة على مادتين للتقوية هما:- مادة Nano Lime وهي عبارة عن خليط من Nano Lime في الكحول الإيثيلي، بتركيز 1% وزن /جم، مادة Nano Core-shell وهي عبارة عن خليط من Core – Shell في الكحول الإيثيلي، بتركيز 1% وزن /جم.

#### 2-2 تقييم الخواص الفيزيائية والميكانيكية لاحجار الديوريت الغير معالجة:-

جدول (1) يوضح متوسط قيم الخواص الفيزيائية والميكانيكية لاحجار الديوريت الغير معالجة.

الكتافة جم / سم <sup>3</sup>	المسامية %	امتصاص الماء	مقاومة الضغط
2.59	0.78	0.28	589.17

### 3- اختبارات التجوية الصناعية Artificial Ageing

فقد تم تعريض العينات المعالجة وغير المعالجة الى دورات من التجوية، وقد تم ذلك من خلال تعريض العينات الى عشرين دورة من التجوية الحمضية(حمض كبريتيك المخفف بنسبة 5%) وقد تمت الدراسة كالآتي : تجفيف العينات في فرن التجفيف لمدة 24 ساعة عند درجة حرارة 105 م ، ثم تسجيل أوزانها، وتم عمر العينات في محلول حمض كبريتيك بنسبة تركيز 5 % لمدة 4 ساعات، وتم تجفيف العينات في فرن تجفيف عند درجة حرارة 105 م لمدة 18 ساعة، ترك العينات في درجة حرارة الغرفة لمدة ساعتين، وتكرار هذه العملية 20 دورة .

### 3- تقنيات الفحوص والتحاليل المستخدمة في الدراسة التجريبية

#### 3-1 الميكروскоп المستقطب (PM)

تم فحص العينات من التمايل الديوريتية للمعبودة سخمت باستخدام الميكروскоп المستقطب اوليمبس موديل (PX51m) المزود بكاميرا رقمية لايكا موديل (XPL) خاصة للتصوير تحت الضوء المستقطب في اتجاهين متعاودين (DFC320) وتحت الضوء المستقطب مستوى (PPL) وقوة تكبير (X) في جامعة جنوب الوادي- كلية علوم- قسم الجيولوجيا - وهذه القطاعات ممثلة لأجزاء مختلفة من تماثيل سخمت.

## 2- الميكروسكوب الإلكتروني الماسح (SEM)

استخدم الميكروسكوب الإلكتروني الماسح SEM موديل (Jol 2000, Japan) في فحص عينات من التماثيل الديوريتية للمعبودة سخت، وتم استخدام الميكروسكوب الإلكتروني الماسح للعينات المعالجة وللعينات المعالجة بعد تعريضها للتجوية الصناعية.

## 3- التحليل ببؤر الأشعة السينية (XRD)

من خلال استخدام جهاز التحليل ببؤر الأشعة السينية (XRD), D8 Disrveny, advance, Bruker rmpany, radiation of measurement was 40KV- and 40Am(1600)w at speeds can 0.015 لعينة اثرية من الديوريت لتمثل سخت المتواجد بمعبد موت.

## 4- النتائج

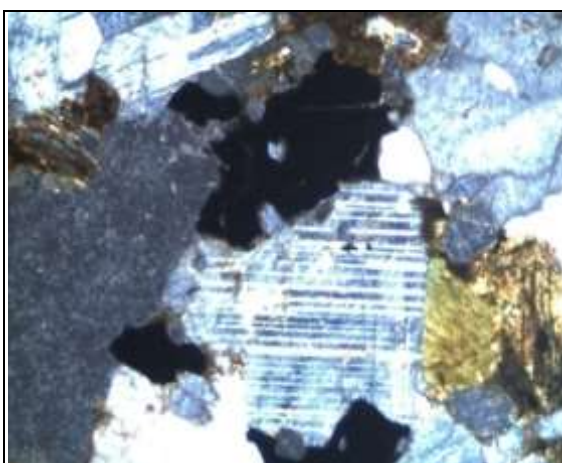
### 4-1 اختبارات الخواص الفيزيائية والميكانيكية للأحجار المعالجة

جدول رقم (2) يوضح الخواص الفيزيائية والميكانيكية للأحجار المعالجة والأحجار الديوريت المعالجة بعد التقادم الحمضي.

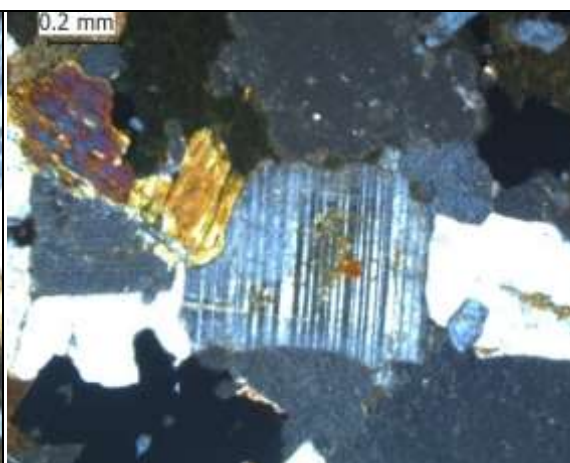
اختبارات الخواص الفيزيائية والميكانيكية للأحجار المعالجة					
مواد التقوية	الرمز	الكتافة	امتصاص الماء	المسامية	مقاومة الضغط
Core-Shell	A	2.75	0.17	1382.29	
Lime	E	2.69	0.19	1246.32	
اختبارات الخواص الفيزيائية لعينات حجر الديوريت المعالجة بعد التقادم الحمضي					
Core-Shell	A	2.66	1.21	600.50	
Lime	E	2.68	1.10	1246.32	

## 2-4 الميكروسكوب المستقطب (PM)

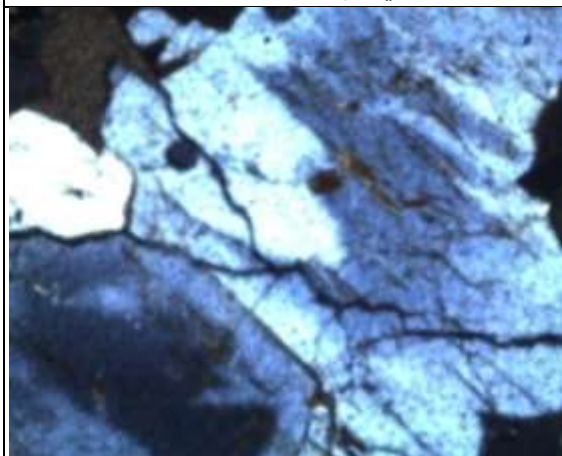
من خلال الفحص البتروجرافي للعينات الديوريتية تكون جميعاً من معادن البلاجيوكلايت والهورنبلند والبيوتيت كمعادن أساسية وأكسيد الحديد كمعدن ثانوي، وصنفت العينات على أنه حجر ناري كامل التبلور وذات نسيج خشن الحبيبات، كما يظهر من الفحص أن معادن البلاجيوكلايت توجد على هيئة بلورات منشورية معتمة غالباً لوجود التوأم الصفائحية ويترعرع البلاجيوكلايت إلى درجات متفاوتة في التحلل إلى سرسبيت وكاولينيت، يتخلل معادن الهورنبلند جزئياً إلى الكلوريت الأخضر الباهت وأكسيد الحديد، أما البيوتيت غالباً يتخلل إلى كلوريت وأكسيد الحديد.



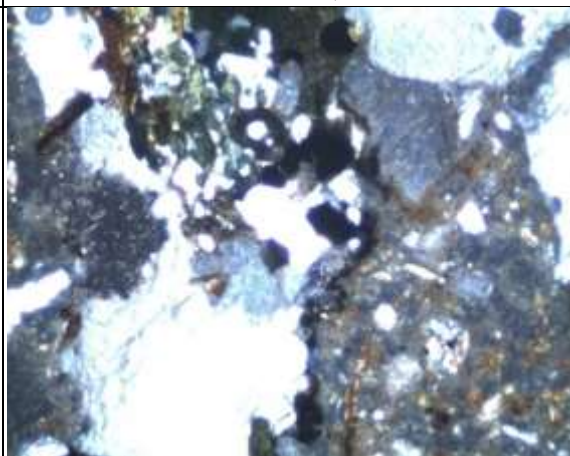
صورة رقم (9) توضح التغير المعدني للبلاجيوكلايت إلى سرسبيت والهورنبلند إلى كلوريت. (بتكبير X50).



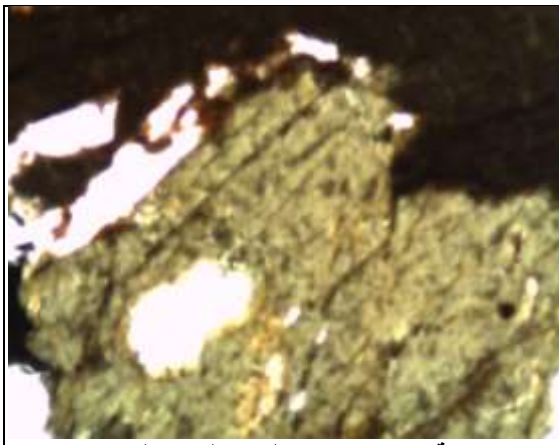
صورة رقم (8) توضح التركيب المعدني الأساسي للديوريت معن البلاجيوكلايت (التوأم الصفائحية) والهورنبلند والبيوتيت. (بتكبير: X50).



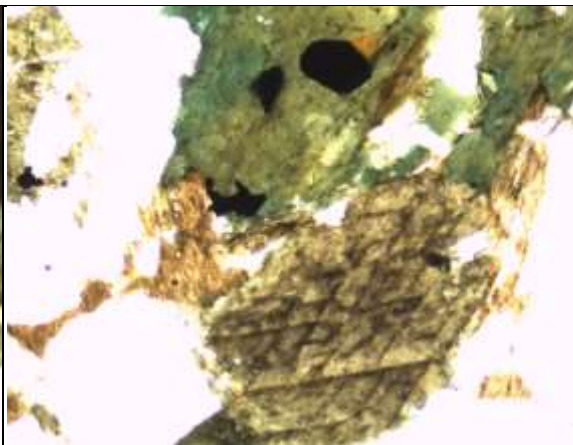
صورة رقم (11) توضح خاصية النطاقية (Zoning) وتشققات (Cracks) في البلاجيوكلايت لتعريضها لاجهادات قوية بتكبير X100.



صورة رقم (10) توضح التغير المعدني للبلاجيوكلايت إلى كاولينيت مع عصر (Squeezing) لمعادن الهورنبلند والبيوتيت نتيجة الضغط (بتكبير PPL:X50).



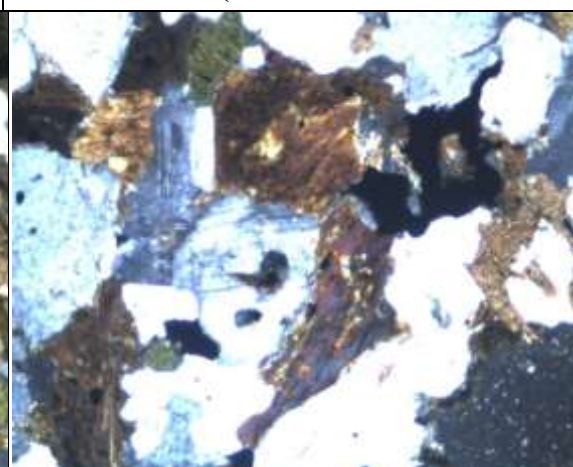
صورة رقم(13) توضح بلوره الهاورنبلند مع نمو  
البلاجيوكليز على الحواف  
ومكنتفات(inclusions) (بتكبيرX100).



صورة رقم(12) توضح التغير المعدني الجزئي  
للهورنبلند (اتجاهين للتشقق) الي الكلوريت. (بتكبير  
. (PPL:X100)



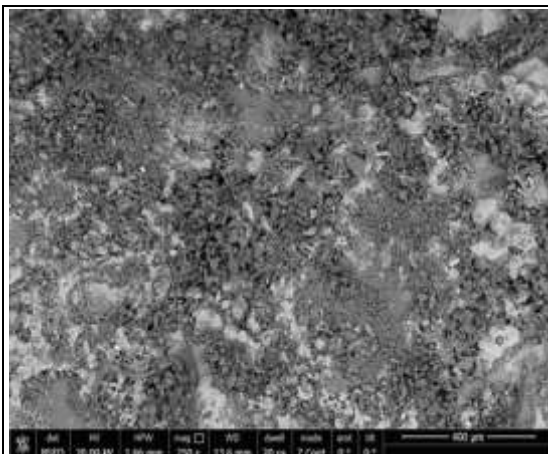
صورة رقم (15) توضح التغير المعدني للبيوتيت الي  
كلوريت (بتكبير XPL:X100).



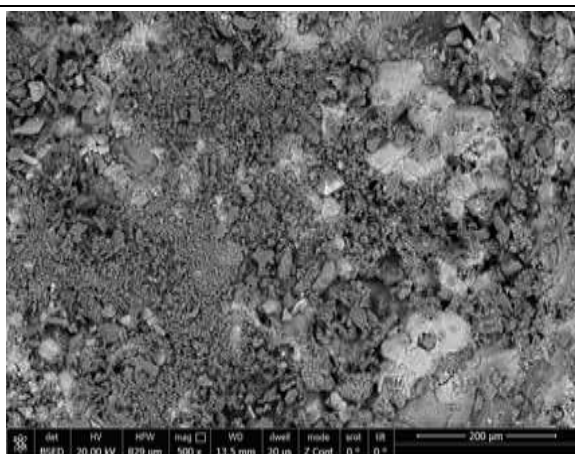
صورة رقم (14) توضح التغير المعدني للبيوتيت الي  
أكسيد الحديد (بتكبير XPL:X50).

### 3- 4 الميكروسكوب الإلكتروني الماسح (SEM)

- من خلال الفحص للعينات الأثرية كما هو موضح بالصور رقم (16-17) عند قوى تكبير مختلفة (X250/X500) تبين حدوث تفتت حبيبي بسطح العينات الأثرية وانفصال للحببيات من السطح الأثري، كذلك تواجد بعض الشروخ الدقيقة الناتجة من تعرض الأثر إلى عوامل التلف المختلفة مما أدى إلى ضعف بنية الحجر وفقده لقوته ترابطه وانفصال أجزاء كبيرة من السطح على هيئة حبيبات متتساقطة.

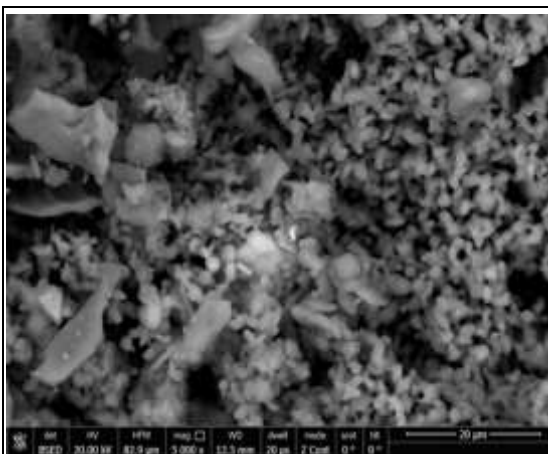


صورة رقم(17) توضح وجود فراغات بين الحبيبات وانفصال الحبيبات من السطح كما توجد بعض الشروخ الدقيقة بتكبير (X250).

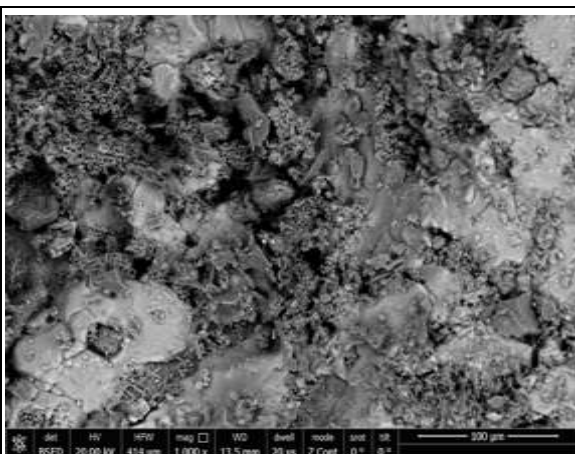


صورة رقم(16) توضح حدوث تقطت حبيبي بسطح العينة وانفصال للحبيبات من السطح كما توجد بعض الشروخ الدقيقة بتكبير (X500).

- من خلال الفحص باستخدام الميكروسكوب الالكتروني الماسح عند قوى تكبير (X5000-X1000) لعينات اثرية من حجر الديوريت كما هو موضح بالصورة رقم (18) حيث يتضح تشوّه سطح الحجر وانفصال الحبيبات المعدنية وتكون الشروخ الدقيقة وهو ما يعمل على اضعاف بنية الحجر، كما يتضح من الصورة رقم (19) تكون بلورات كلوريد الصوديوم على سطح الحجر وفي المسافات البينية بين الحبيبات المعدنية.

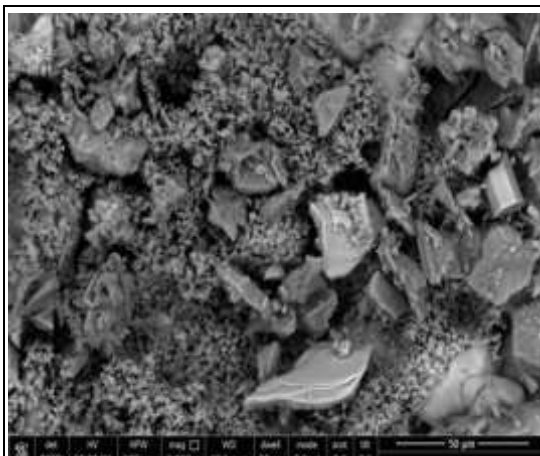


صورة رقم(19) توضح وجود أملاح كلوريد الصوديوم عند تكبير (X5000).

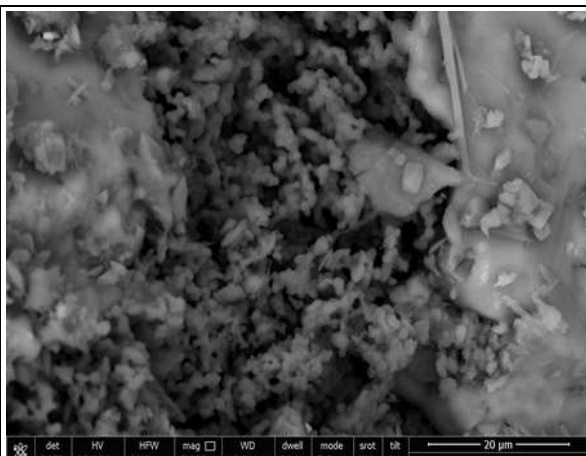


صورة رقم(18) التقطت حبيبي بسطح حجر الديوريت وظهور الشروخ الدقيقة عند قوى تكبير (X1000).

- يتضح من خلال الفحص بالميكروسkop الالكتروني الماسح لعينة اثرية لحجر الديوريت كما هو موضح بالصور رقم (21-20) حدوث انفصال حبيبي للمعادن المكونة لحجر الديوريت وترسب الاملاح وتبلورها بين الحبيبات المعدنية والتى تؤدى بالنتهاية الى انفصال تلك الحبيبات عن الحجر الاساسي وهو ما يظهر فى صورة نسيج خشن لسطح حجر الديوريت كما هو موضح بالصورة رقم (21).



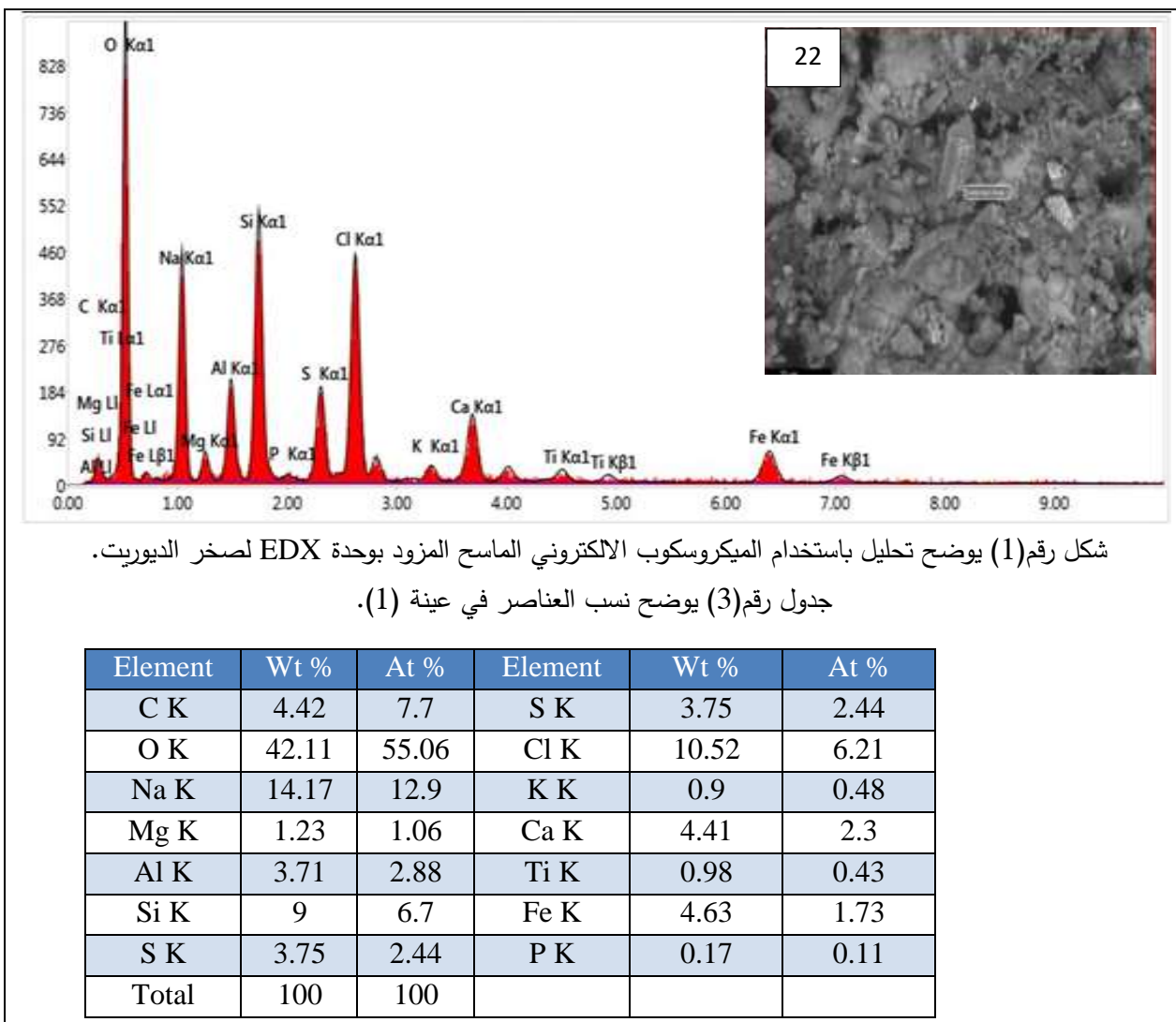
صورة رقم(21) توضح انفصال الحبيبات المعدنية لحجر الديوريت بتكبير (X2000).



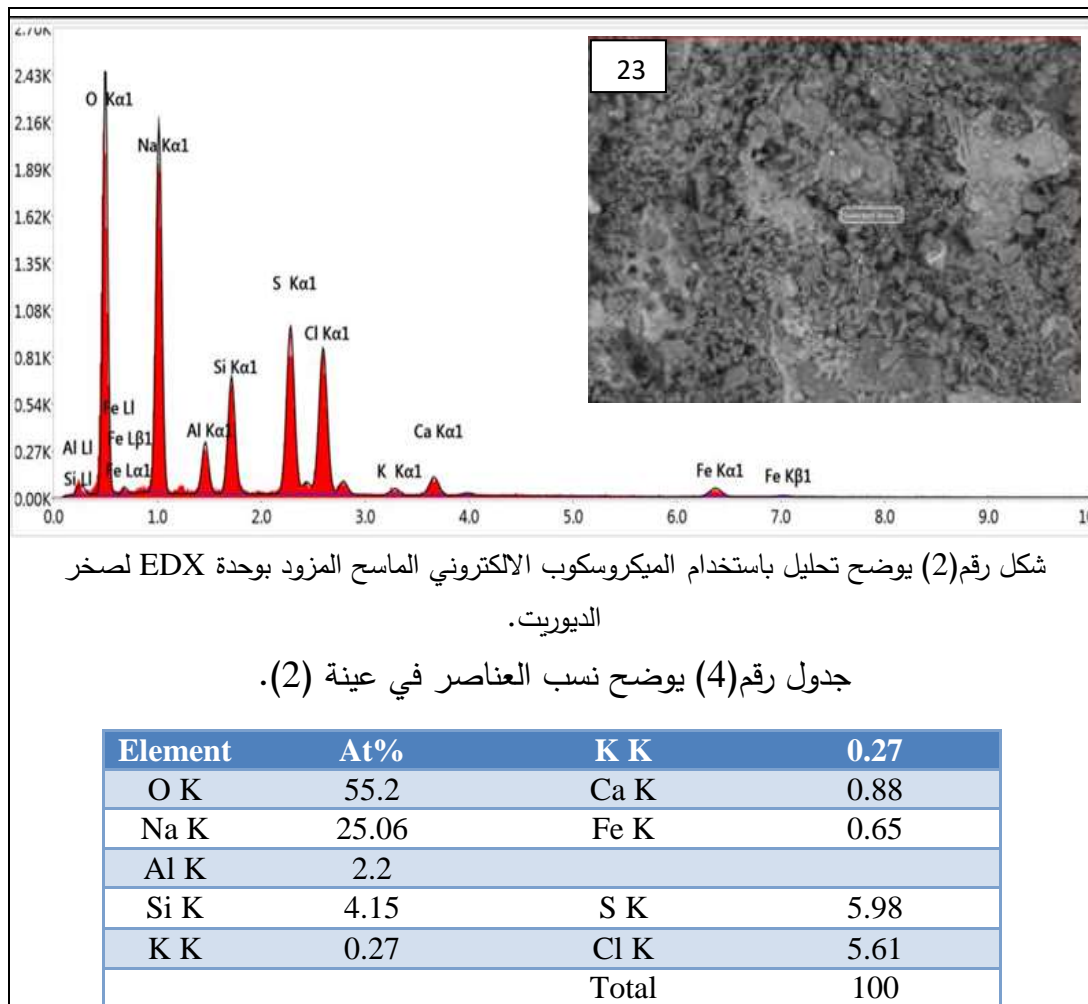
صورة رقم(20) توضح حدوث تنسخ فى طبقات الحجر وحبباته المعدنية على هيئة طبقات رقيقة وقشور بتكبير (X2000).

- استخدام الميكروسكوب الالكتروني الماسح المزود بوحدة EDX فى فحص وتحليل العينات الأثرية:-

- تبين من خلال استخدام الميكروسكوب الالكتروني الماسح المزود بوحدة التحليل EDX كما هو موضح بنمط حيود الاشعة السينية رقم (1) والجدول رقم (3) والصورة رقم (22) تعرض العينة للتلف واحتواها على العديد من العناصر المشيرة الى ذلك مثل الكبريت والكلاسيوم والصوديوم والكربون وهو ما يفسر تواجد التزهارات الملحوظة لاملاح النترات والكبريتات على سطح الاثر، كما يتبيّن ايضاً تواجد كلوريد الصوديوم وهو احد الاملاح الشائعة الانتشار بسطح الاحجار الاثرية.



- يتضح من خلال الفحص والتحليل لأحد مظاهر التلف سطح عينة الديوريت كما هو موضح بنمط حيود الأشعة السينية رقم (2) والجدول رقم (4) احتواء العينة على ملح كلوريد الصوديوم المتبلور على سطح العينة، وهو ما تؤكده الفحوص السابقة التي تم اجرائها على العينات الأثرية، كذلك يتضح من خلال التحليل كما هو موضح بالجدول رقم (4) احتواء العينة على الكبريتات والتي يعزى وجودها الى املاح كبريتات الكالسيوم والبوتاسيوم بالعينة.

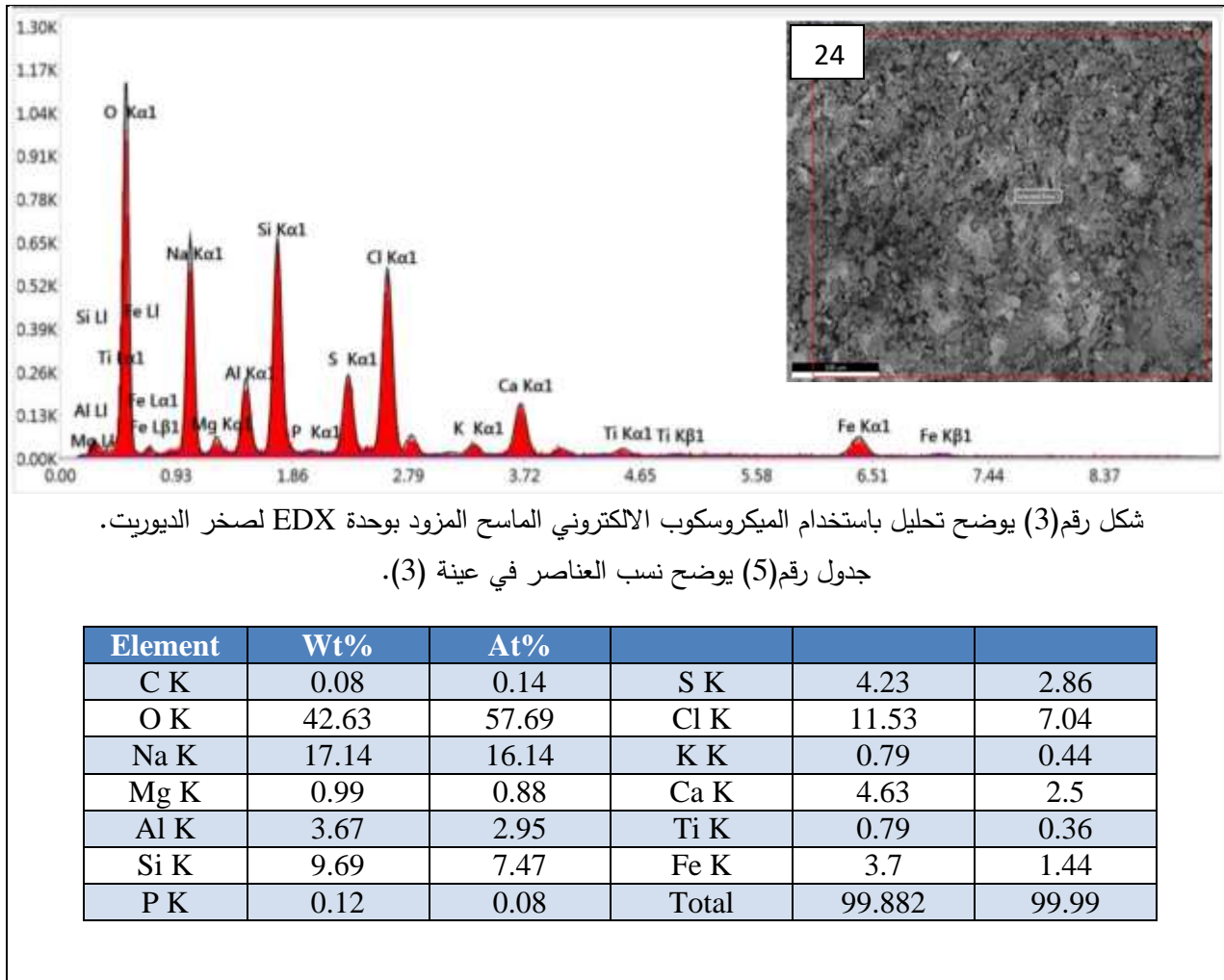


شكل رقم(2) يوضح تحليل باستخدام الميكروسكوب الالكتروني الماسح المزود بوحدة EDX لصخر الديوريت.

جدول رقم(4) يوضح نسب العناصر في عينة (2).

Element	At%	K K	0.27
O K	55.2	Ca K	0.88
Na K	25.06	Fe K	0.65
Al K	2.2		
Si K	4.15	S K	5.98
K K	0.27	Cl K	5.61
		Total	100

- من خلال استخدام الميكروسكوب الالكتروني الماسح المزود بوحدة EDX لدراسة مظاهر تلف عينة اثرية لحجر الديوريت كما هو موضح بنمط حيود الأشعة السينية رقم (3) والجدول رقم (5) تبين احتواء العينة على السيليكون والماغنيسيوم والصوديوم والبوتاسيوم، وهي عناصر مكونة لاملاح البوتاسيوم والكالسيوم، وكذلك مؤشر على حدوث تحول لبعض المعادن الأساسية المكونة لحجر الديوريت الأثري.



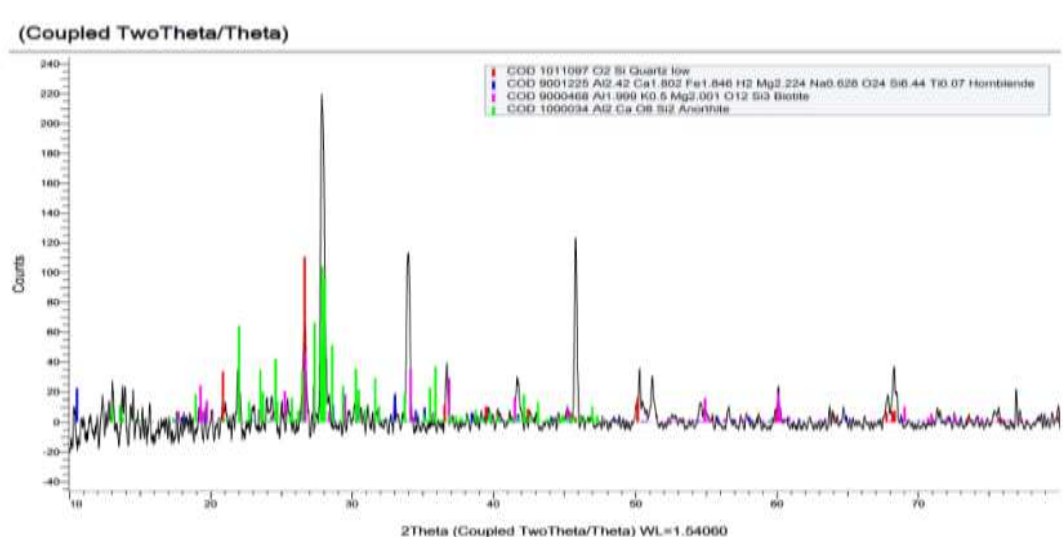
شكل رقم(3) يوضح تحليل باستخدام الميكروسكوب الالكتروني الماسح المزود بوحدة EDX لصخر الديوريت.

جدول رقم(5) يوضح نسب العناصر في عينة (3).

Element	Wt%	At%			
C K	0.08	0.14	S K	4.23	2.86
O K	42.63	57.69	Cl K	11.53	7.04
Na K	17.14	16.14	K K	0.79	0.44
Mg K	0.99	0.88	Ca K	4.63	2.5
Al K	3.67	2.95	Ti K	0.79	0.36
Si K	9.69	7.47	Fe K	3.7	1.44
P K	0.12	0.08	Total	99.882	99.99

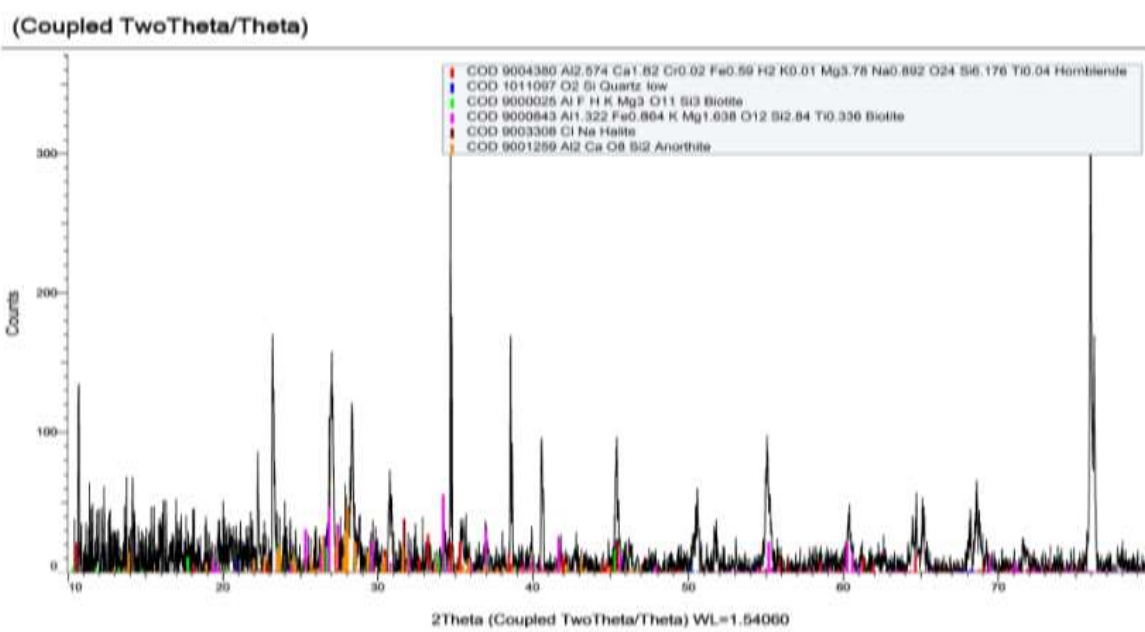
#### 4- التحليل بجيود الأشعة السينية ( X R D )

- تبين احتواء العينة على بعض المعادن الاساسية المكونة لحجر الديوريت مثل معدن انورثيت، ومعدن هورنبلند، ومعدن البيوتيت، بالإضافة الى معدن الكوارتز، كذلك يتضح من التحليل احتواء العينة على ملح الهايليت والذي هو عبارة عن ملح كلوريد الصوديوم وهو الملح الاكثر شيوعاً ومسبب لتلف حجر الديوريت، حيث يؤدي تبلور هذا الملح بين المسافات البينية بالحجر الى احداث ضغوط تؤدي الى تكون شروخ دقيقة تظهر على السطح الاثري للحجر مشوهة النسيج السطحي ومؤدية الى حدوث تفتق حبيبي للحجر. كما هو موضح بالشكل رقم (4).



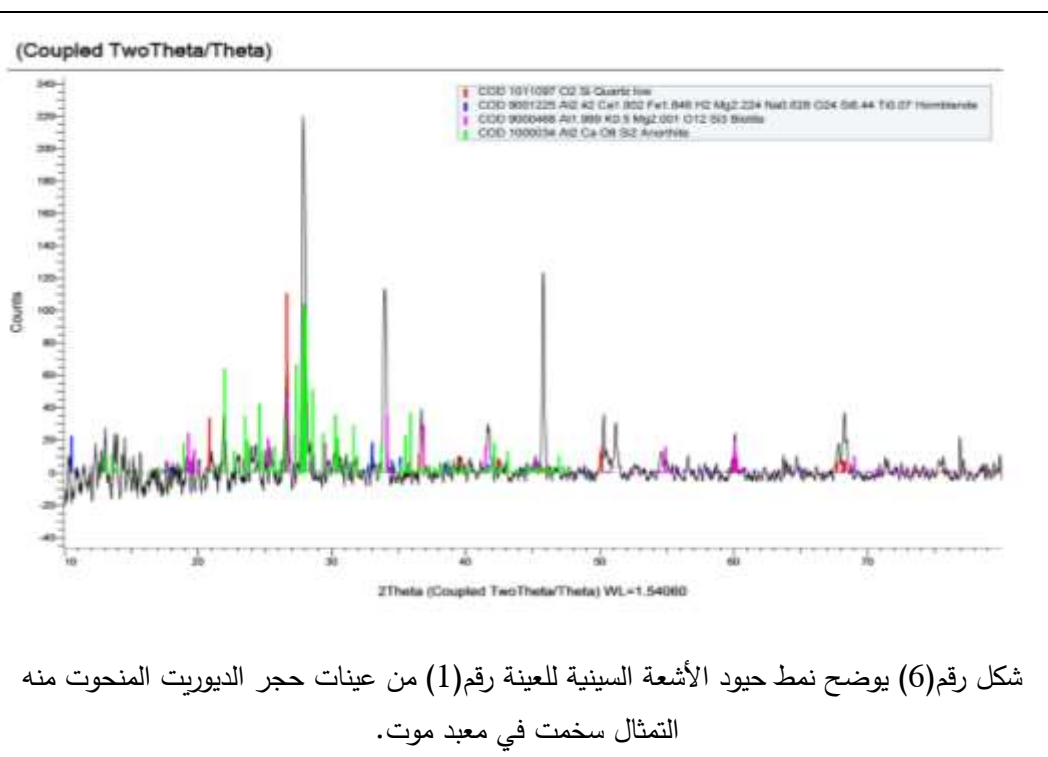
شكل رقم(4) يوضح نمط حيود الأشعة السينية للعينة رقم(1) من عينات حجر الديوريت المنحوت منه التمثال سخمت في معبد موت.

- يتضح من خلال نمط حيود الأشعة السينية رقم (5) تحليل لعينة اثرية لحجر الديوريت بتمثال سخمت بمعبد موت احتواء العينة على مجموعة من المعادن مثل معدن انورثيت، ومعدن هورنبلنده، ومعدن البيوتيت وهي المعادن المكونة لحجر الديوريت، كذلك اظهر التحليل احتواء العينة على الكوارتز باعتباره مكون ثانوي لحجر الديوريت وكذلك ملح الهالات كأحد نواتج التلف بالحجر الاثري.



شكل رقم(5) يوضح نمط حيود الأشعة السينية للعينة رقم(2) من عينات حجر الديوريت المنحوت منه التمثال سخمت في معبد موت.

من خلال الشكل رقم (6) الذي يوضح نمط حيود الأشعة السينية لعينة الديوريت المأخوذة من تمثال سخمت بمعبد موت تبين احتواء العينة على مجموعة من المعادن المكونة لحجر الديوريت المتمثلة في معden انورثيت، ومعدن ألبيت، ومعدن هورنبلند، ومعدن البيوتيت، بالإضافة إلى معden الكوارتز الثنائي يوجد بنسبة منخفضة، ويوجد ملح الهايليت.

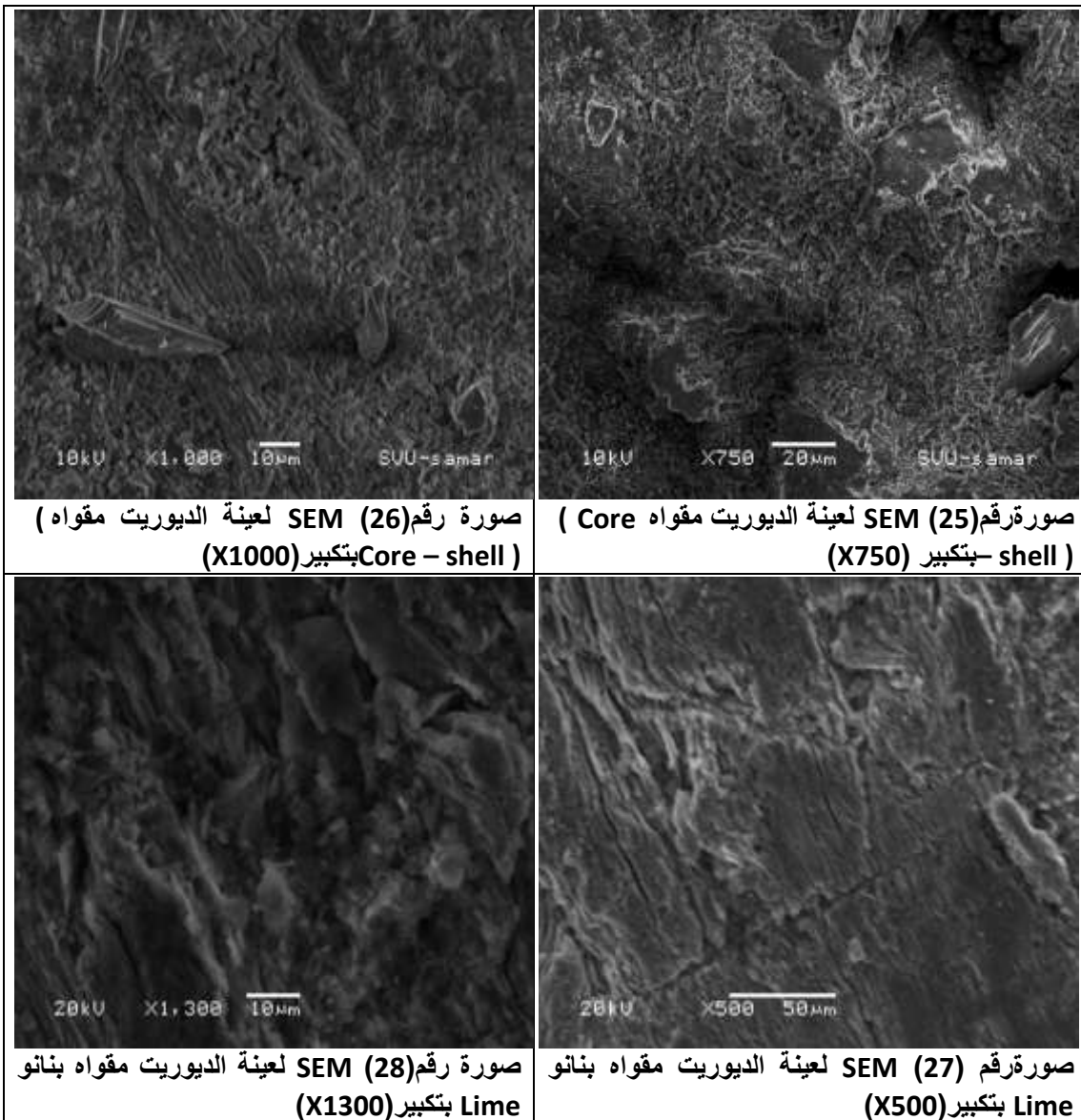


شكل رقم(6) يوضح نمط حيود الأشعة السينية لعينة رقم(1) من عينات حجر الديوريت المنحوت منه التمثال سخمت في معبد موت.

#### 1-4 الفحص باستخدام الميكروскоп الإلكتروني الماسح (SEM)

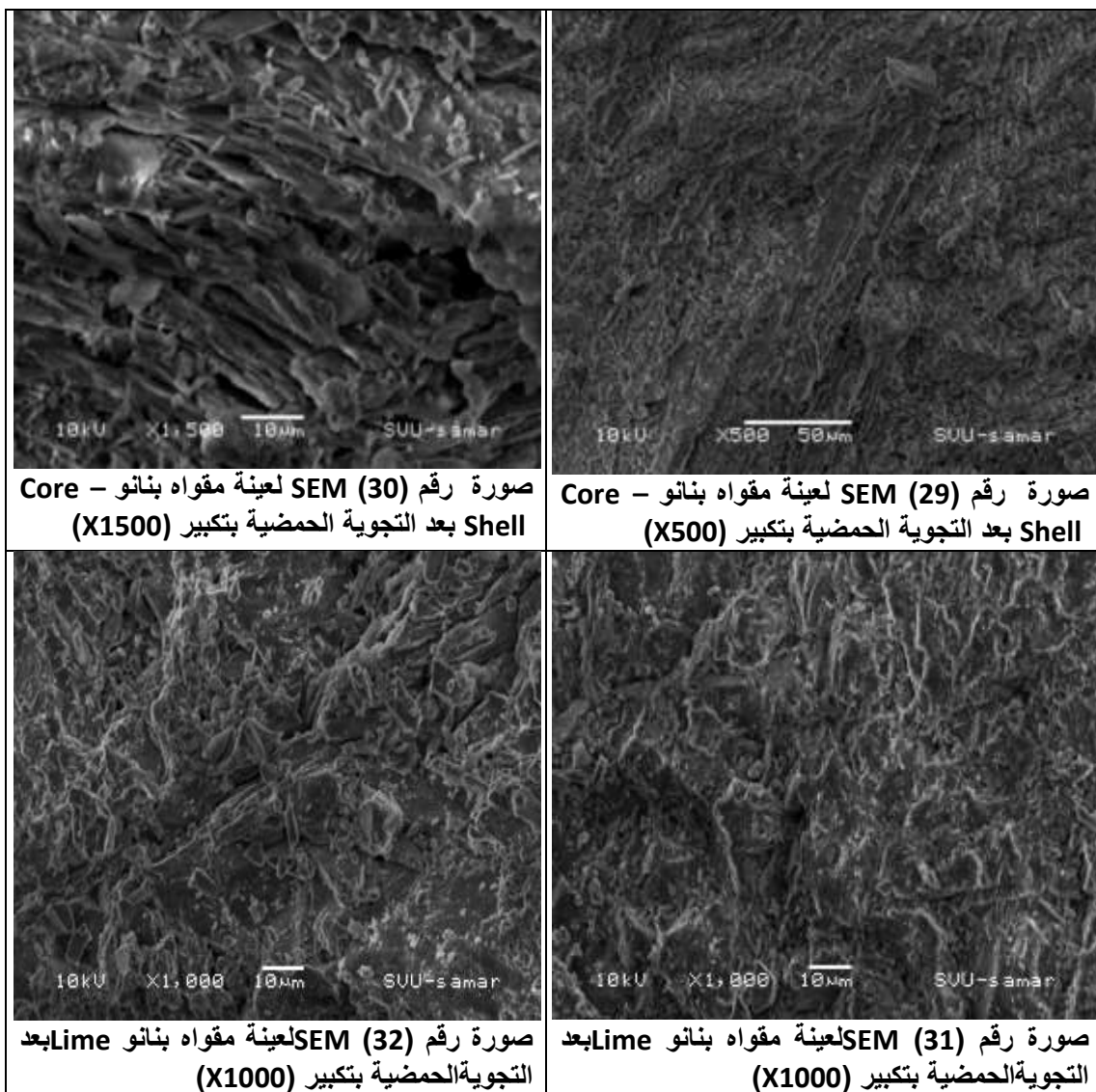
##### Examination by Scanning Electron Microscope

خلال الفحص باستخدام الميكروскоп الإلكتروني الماسح للعينات المعالجة، أتضح قدرة مادة Core – shell على التعلغل والانتشار الجيد بطبقة كثيفة ومتجانسة بشكل كبير كما هو موضح بالصور رقم (25،26)، كما أتضح قدرة مادة Lime على الانتشار بطبقة كثيفة ، كما هو موضح بالصور رقم (28،27)



#### ( S.E.M ) 5 - 4 - 2 الفحص باستخدام الميكروسكوب الإلكتروني الماسح

يمكن من خلال عمليات الفحص باستخدام الميكروسكوب الإلكتروني الماسح للعينات المعالجة بالمادتين بعد تعريضها لدورات التجوية الصناعية ، أتضح أن مادة – Core قد أظهرت تأثير التجوية الحمضية من خلال الفجوات و الفراغات كما هو موضح بالصور رقم (29،30)، أتضح أن مادة Lime أظهرت درجة كبيرة من الثبات لدورات التجوية الحمضية كما هو موضح بالصور رقم(32،31).



## 5 - النتائج

(1) اتضح من خلال الفحص باستخدام الميكروسكوب المستقطب لعينات الديوريت قد حدث تغير معدني، أن معادن البلاجيوكليز تعرضت إلى درجات متفاوتة في التحلل إلى سرسيت وكاولينيت، تحلل معادن الهورنبلند إلى الكلوريت الأخضر الباهت وأكسيد الحديد، أما البيوتيت غالباً تحلل إلى كلوريت وأكسيد الحديد .

(2) اتضح من خلال الفحص للعينات الأثرية تبين حدوث تفتق حبيبي بسطح العينات الأثرية وانفصال للحبيبات من السطح الأثري، كذلك تواجد بعض الشروخ الدقيقة الناتجة من تعرض الأثر إلى عوامل التلف المختلفة مما أدى إلى ضعف بنية الحجر وقده لقوة ترابطه وانفصال أجزاء كبيرة من السطح على هيئة حبيبات متساقطة.

- (3) اتضح من خلال استخدام الميكروسكوب الإلكتروني الماسح المزود بوحدة التحليل EDX تعرض العينات للتلف واحتواها على العديد من العناصر المشيرة إلى ذلك مثل الكبريت والكالسيوم والصوديوم والكريبون وهو ما يفسر تواجد التزهارات الملحيّة لاملاح النترات والكبريتات على سطح الأرض، كما يتبيّن أيضًا تواجد كلوريد الصوديوم وهو أحد الاملاح الشهيره الشائعة الانتشار بسطح الاحجار الأثرية.
- (4) اتضح من خلال الدراسة بحثيّه الأشعّة السينيّة لعينة الديوريت من تمثال المعبوّدة سخمت، أنها تتكون من المعادن الأساسية المكوّنة لحجر الديوريت مثل معدن انورثيت، ومعدن هورنبلند، ومعدن البيوتيت، بالإضافة إلى معدن الكوارتز، كذلك يتبيّن من التحليل احتواء العينة على ملح الـماليت.
- (5) ومن خلال إجراء الاختبارات الفيزيائية والميكانيكية للعينات المعالجة، حيث حققت مادة Nano Core-Shell أعلى كثافة للعينات المعالجة بها وزيادة في مقاومة العينات المعالجة بها للضغط الميكانيكي، وتليها حققت مادة Nano Lime في كثافة العينات المعالجة بها وزيادة في مقاومة العينات المعالجة بها للضغط الميكانيكي.
- (6) ومن خلال الفحص باستخدام الميكروسكوب الإلكتروني الماسح للعينات المعالجة، أتضح قدرة مادة نانو Core – shell على التغلغل و الانتشار الجيد بطبقة كثيفة ومتجانسة بشكل كبير، كما أتضح قدرة مادة Nano Lime على الانشار بطبقة كثيفة جداً.
- (7) وبعد إجراء الاختبارات الفيزيائية والميكانيكية لعينات الديوريت المعالجة بعد التقادم الحمضي، نجحت مادة Nano Lime بعد دورات التجوية الحمضية في الحفاظ على قدرة العينات المعالجة على مقاومة الضغوط الميكانيكية.
- (8) الفحص باستخدام الميكروسكوب الإلكتروني الماسح لعينات المعالجة بعد تعرّضها التجوية الحمضية، أتضح أن مادة نانو Core – Shell قد أظهرت تأثير التجوية الحمضية من خلال الفجوات و الفراغات، وأتضح قدرة مادة Lime Nano على الثبات بدرجة كبيرة بعد تعرّضها لدورات التجوية الحمضية.

### الوصيات

- (1) تعتبر الأحجار الديوريتية ذات طبيعة خاصة من حيث تركيبها المعدني وخصائصها الفيزيائية والميكانيكية لذلك توصى الباحثة باستخدام التقنيات العلمية الحديثة لإجراء عمليات الفحوص والتحاليل لتفصيل ميكانيكية تلف كل معدن من المعادن المتواجدة بالأحجار الديوريتية على حده للوقوف على التغيرات المعدنية التي حدثت له وبالتالي مدى تأثير خواص الديوريت بهذه التغيرات قبل إعداد خطة العلاج والصيانة الملائمة.
- (2) ونوصى بعمل الصيانة الدورية والملاحظة المستمرة للتماثيل الديوريتية، لذلك لابد من العمل على توفير المناخ الآمن للتماثيل على قدر الامكان .

- (3) يجب عمل مظلات توضع على التماثيل لحمايتها من التعرض المستمر لعوامل التلف المختلفة.
- (4) إجراء أعمال خفض مناسيب المياه الأرضية بالمنطقة على أساس علمية سليمة للحفاظ على الآثار الديوريتية.
- (5) تري الباحثة أنه من أجل الحفاظ على التماثيل، فإنه لابد من رفعها عن مستوى سطح الأرض، بإزالة القاعدة المعروضة عليها، وعمل قاعدة جديدة مناسبة من حيث الشكل والأبعاد والارتفاع، علي أن تعزل جيدا وبشكل يضمن عزل التماثيل تماما عن تأثير المياه الأرضية.
- (6) يجب ارتداء القفازات والاقنعة والملابس الواقية عند التعامل بشكل مباشر مع الحبيبات النانوية نظراً لقدرتها العالية على التطاير والانتشار.
- (7) يجب العمل على تنفيذ مشروع الترميم وعلاج التماثيل نظراً ل تعرضها للتلف الشديد خاصة تعرضها للمياه الأرضية.

## المراجع

- (1) الفريد لوکاس :المواد والصناعات عند قدماء المصريين ،الطبعة الأولى ،(ترجمة) زكي اسكندر – محمد زكريا ، مكتبة مدبولي ، 1991 ،ص110.
- (2) جيمس بيكي (ترجمة) لبيب حبشي و شفيق فريد : الآثار المصرية في وادي النيل ،الجزء الثالث ، 1993.
- (3) و.د.هاملتون وآخرون:المعجم الجيولوجي المصور في المعادن والصخور والحفريات ،دار المعارف بمصر ،الطبعة الأولى، 1961.
- 4) Joanna M ,& Kristine M ,& Wilson Y , & Sidney J ,& Carla F ,& Ceorge B ,: The mechanisms of the physicochemical reactions in diorite used in the construction of ancient royal Egyption ststus .,University of Toronto , 1982 .
- 5) Bader ,N , Moubark , K &Badry , A :Investigation of environmentally driven deterioration of diorite statues in Mut temple Egypt and concepts for conservation , Mediterranean Archaeology and Archaeometry , Vol .15 , No3, 2015 .
- 6) Bader, N.A,: Deterioration and conservation of Dioiritic Relief in the Queen Hathepsut's chapel at Temple of Karnak, the 1st international conference for studies environments, South Valley University, Luxor, Egypt, 25-28 Qctober, pp.62-77.

- 7) M.A.Atya , S.O.Al khateeb ,M.F.Musa, M.Gaballa , A.M.Abbas ,F.F.Shaaban, M.A.Hafez : GPR investigation to allocate the archaeological remains in Mut temple ,Luxor , Upper Egypt , NRIAG Journal Research Institute of Astronomy and Geophysics , 2012.
- 8) Ismail ,B, & El-Habaak ,G:Durability characteristics of som Diorite and Granodiorite Monumental , South Valley University . 1996 .
- 9) Heldal, T., Storemyr, P& Kelamy, A: Modern stone and mineral extraction and its impact on ancient Egyption quarry landscapes . Risk Assessment and Monitoring of Ancient Egyptian Quarry landseapes .Geological Survey of Norway(NGU),2007.
- 10) Lal,B.B, 1985: Weathering and Disintegration of Stone Monuments, in Vth(Inter. Cang. Of Deterioration& Conservation of Stone) Vol I. Italy. P.213.
- 11) Alves, C, et al 1996: Water Transfer& Decay of Granitic Stones in Monuments Surface Geosciences, C,R, Acad. Sic, Paris, pp. 397-398.